

弾塑性建築架構の構成要素の地震応答（続）

京都大学 小堀鐸二 南井良一郎 口藤原悌三

1. まえがき

建築構造物の終局的な耐震安全性を評価するためには、建築架構全体の概略的な耐震安全性の検討とともに、架構を構成する柱、梁、耐震要素など個々の部材の耐震性的判定を具体的に行なうことと構成部材に塑性挙動を許す場合には重要であり、このようより観点から、前報においては局所的な柱、梁部材に弾塑性履歴特性を有した建築架構の地震応答解析法を示し、平面架構を対象とした地震応答から、特に、柱部材の安全性に注目して検討をすこめていた。構造物の耐震設計の理念として常時死荷重を支持伝達している柱部材の終局的な耐震安全性は梁部材と同等あるいはそれ以上にとて多くが望まれる、そのためには梁強度を柱強度の2/3程度としておけば、柱部材は弾性乃至は微かな塑性領域に收まる傾向にあること、梁中间荷重によって運動変位など概略的な応答は影響が少いか部材剛性率応答率に与える影響は大きく、部材あるいはジョイントには十分な剛性を有する必要があることなどを示した後、梁崩壊型の架構の弾塑性地震応答解析法の一方法についても言及した。通常の建築物は三次元的なひずみをもち、地震波や地盤を通じて種々の角度から入射することを考へた、柱部材の安全性は更に低下するものと予想され、本論文では建築構造物を各部材端部に弾塑性履歴特性をもつ架構に抽象する前報の手法を上下方向の慣性力をも含めた立体架構の地震応答解析法に拡張し、若干の数値例を示したものである。

2. 基礎方程式と解法

多層多張間立体架構の各層重心位置におけるX方向、Y方向およびねじれに関する無次元運動方程式は、前報と同様 (1) 式で与えられる。

$$\begin{pmatrix} [a][o][o] \\ [o][a][o] \\ [o][o][a_T] \end{pmatrix} \frac{d^2}{dz^2} + \begin{pmatrix} [b_{xx}][o][b_{xx}] \\ [o][b_{yy}][b_{yy}] \\ [b_{zz}][b_{yy}][b_{yy}] \end{pmatrix} \frac{d}{dz} + \begin{pmatrix} [m_{xx}][o][m_{xx}] \\ [o][m_{yy}][m_{yy}] \\ [m_{zz}][m_{yy}][m_{yy}] \end{pmatrix} \begin{pmatrix} \{\eta_{xx}\} \\ \{\eta_{yy}\} \\ \{\eta_{zz}\} \end{pmatrix} + \begin{pmatrix} [c_{xx}][o][o] \\ [o][c_{yy}][o] \\ [o][c_{zz}][o] \end{pmatrix} \begin{pmatrix} \{P_x\} \\ \{P_y\} \\ \{P_z\} \end{pmatrix} = - \begin{pmatrix} [a][o][o] \\ [o][a][o] \\ [o][o][a_T] \end{pmatrix} \begin{pmatrix} \{\alpha_x\} \\ \{\alpha_y\} \\ \{\alpha_T\} \end{pmatrix} \quad (1)$$

上式は各層床面を面内について剛と仮定したものであるが、一般に床面の面外方向は面内に比して柔らため、上下方向の運動方程式は各架構の梁中央位置と柱頭に質量が集中するものとして (2) 式の如く表現する。

$$\begin{pmatrix} [a][o] \\ [o][a_N] \\ [o][a_T] \end{pmatrix} \frac{d^2}{dz^2} + \begin{pmatrix} [b_{xx}][b_{yy}] \\ [b_{yy}][b_{yy}] \\ [b_{yy}][b_{yy}] \end{pmatrix} \frac{d}{dz} + \begin{pmatrix} [c_{pp}][o] \\ [o][c_{nn}] \\ [o][c_{tt}] \end{pmatrix} \begin{pmatrix} \{Z\} \\ \{\eta_{yy}\} \\ \{\hat{P}_z\} \end{pmatrix} = - \begin{pmatrix} [a][o] \\ [o][a_N] \\ [o][a_T] \end{pmatrix} \begin{pmatrix} \{a_N \cdot a_N(z)\} \\ \{a_N \cdot a_N(z)\} \\ \{a_T \cdot a_T(z)\} \end{pmatrix} \quad (2)$$

\Rightarrow $\{Z\} = [a], [a_N], [a_T]$; 各層質量、梁中央に集中する質量、柱頭に集中する質量および回転

慣性に関する3マトリックス, $\{\gamma_{x0}\}, \{\gamma_{y0}\}, \{\gamma_{z0}\}, \{\gamma_{N0}\}$; 運動座標に関する X, Y 方向重心変位と重心まわりの揺れ角および梁中央と柱頭の上下変位ベクトル, $\{P_{x0}\}, \{P_{y0}\}, \{P_{z0}\}, \{\hat{P}_{N0}\}, \{\dot{P}_{N0}\}$; 各部材の X, Y 方向曲げモーメント, 擬リモーメントおよび柱頭質量によって生ずる軸方向力ヒヤク復元力ベクトル, $\{C_p\}$; 減衰係数マトリックス, $[D]$; 動的軸力を含む係数マトリックス, $[C]$; 形状係数マトリックス, $\alpha_x(z), \alpha_y(z), \alpha_z(z), \alpha_N(z)$; 無次元正規化外乱波形関数などの無次元量であり, 時間 T は $T = \sqrt{k/M} T / E$ により無次元化される。

(1) 式の第4項は架構の復元力を表わすが, その曲げモーメントを影響係数で表すすれば (3) 式となり, 塑性領域の変形に対しても弾性係数で求め与えられる。また, 部材軸力は上下方向運動変位と弾塑性ジョイントの軸方向変位で (4) 式の如く表現される。一方, 部材軸力は柱頭の慣性力および梁慣性力と導剪断力の和として (5) 式から得られる。

$$\{P\} = [\lambda_1]\{\gamma\} + [\lambda_2]\{C_p\}^b + [\lambda_3]\{P\} + [\lambda_4]\{Q\}^c + [\lambda_5]\{\dot{P}\}^d \quad (3)$$

$$\{P_N\} = [f_{N1}]\{\gamma_N\} + [f_{N2}]\{\dot{Q}_N\} \quad (4)$$

$$\{h\}\{Q\} = [h_1]\{P\}^b + [h_2]\{P\} = \{P_N\} - \{\hat{P}_N\} \quad (5)$$

ここで, $\{\gamma\}$; 各架構の変位ベクトル, $\{P\}$; 梁部材回転角ベクトル, $\{Q\}^c$, $\{\dot{Q}\}^d$, $\{\ddot{Q}\}^e$; 柱および梁弾塑性ジョイント領域の相対回転角と軸方向伸縮を表わすベクトル, $[\lambda]$; 水平方向運動変位, 梁部材角, 梁中央慣性力, 柱相対回転角, 梁相対回転角に単位の変形または単位の力を与えたときの各ジョイントの曲げモーメントを表す影響係数マトリックス, $\{C_p\}$; 梁部材端に生ずる剪断力ベクトルである。一方, 梁中央の運動変位 $\{\gamma_N\}$ は部材端部の境界条件と慣性力 $\{P_N\}$ から次式のように与えられる。

$$\{\gamma_N\} = [L_1]\{\gamma_N\} + [L_2]\{P\}^b + [L_3]\{P\} \quad (6)$$

いま, 塑性変形は各部材端部に想定した弾塑性ジョイント領域のみに生じ, その他の部材は弾性と仮定すると, ジョイント領域における断面力増分と変形増分との関係は降伏条件式と塑性流動則および塑性仕事式を用いて結局 (7) 式で表現される。

$$\begin{cases} \dot{P}_x \\ \dot{P}_y \\ \dot{P}_z \\ \dot{P}_N \end{cases} = \begin{cases} \beta_{xx} \beta_{xy} \beta_{xz} \beta_{xN} \\ \beta_{yx} \beta_{yy} \beta_{yz} \beta_{yN} \\ \beta_{zx} \beta_{zy} \beta_{zz} \beta_{zN} \\ \beta_{Nx} \beta_{Ny} \beta_{Nz} \beta_{NN} \end{cases} \begin{cases} \dot{\gamma}_x \\ \dot{\gamma}_y \\ \dot{\gamma}_z \\ \dot{\gamma}_N \end{cases} \quad \begin{cases} \beta_{ii} = 1 \\ \beta_{ij} = 0 \\ \beta_{ii} = 1 - \lambda \frac{\partial \sigma}{\partial \dot{P}_i} \\ \beta_{ij} = -\lambda \frac{\partial \sigma}{\partial \dot{P}_j} \end{cases} \quad \begin{cases} \text{弾性域} \\ \text{塑性域} \end{cases} \quad (7)$$

$$\lambda = \frac{\left\langle \frac{\partial \dot{P}_i}{\partial P_i} \cdot \dot{g}_i \right\rangle}{c \frac{dc}{d\dot{P}_i} \left\langle P_i \cdot \frac{\partial \dot{g}_i}{\partial P_i} \right\rangle + \left\langle \frac{\partial \dot{g}_i}{\partial P_i} \cdot \frac{\partial \dot{g}_i}{\partial P_i} \right\rangle}$$

ここで、C および \dot{g}_i は相当断面力および相当塑性変形を定義し、C と \dot{g}_i の間に一次元的な履歴曲線を有する。部材に硬化がないときは上式の分母第1項は零となる。

以上の諸式から、弾塑性ジョイントをもつ立体架構の地震応答を以下の手順で求めよ。

- 運動方程式 (1), (2) 式より運動変位増分 Δu_{ij} , $\Delta \theta_{ij}$, $\Delta \theta_{ik}$, $\Delta \theta_{jk}$ および $\Delta \theta_{kl}$ を得る。
- 弾塑性ジョイント領域の断面力と変形の関係を弹性と仮定し、(3) ~ (6) 式を用いて断面力増分 ΔP_{ij} , ΔP_{ik} , ΔP_{jk} , ΔP_{kl} に対応する変形増分 Δu_{ij} , $\Delta \theta_{ij}$, $\Delta \theta_{ik}$, $\Delta \theta_{jk}$, $\Delta \theta_{kl}$ を算出する。
- 弾塑性ジョイントの相当断面力が弹性範囲内にあれば次のステップへ進む。相当断面力が降伏条件式を満足しておれば (7) 式より各ジョイントの塑性域での変形増分を求めて (3) 式に戻る。
- 新しく得られた変形増分が前の増分とは等しくなるまで収束させて次のステップへ進む。

3 數値例

弾塑性ジョイントをもつ架構に関する三層平面架構を対象として既往の解析から、軸方向力の部材曲げ剛性に及ぼす影響は無視し得ること、柱強度和と梁強度和より若干大きくなることによる柱の微小な塑性挙動に抑え得ること、柱部材の安全性に対する複合断面力状態による弾塑性ジョイントの降伏条件が大きく影響することなどを指摘してきたが、本論文では、さらに、三方向と接する慣性力を考慮して柱の安全性を検討するためには 第1図に示すような三層立体架構を解析の対象とする。解析モデルの動的特性は既往の平面架構の解析結果との比較対照を容易にするため以下のように設定する。

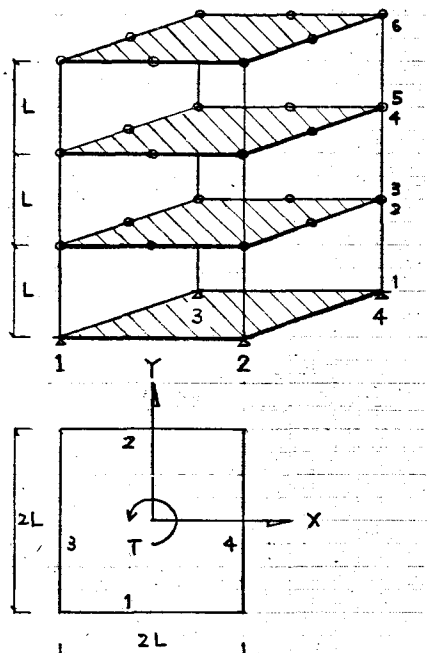
質量分布 $\{m\} = \{1, 1, 1\}$

柱強度分布 $\{b\} = \{1, 7/9, 5/9\}$

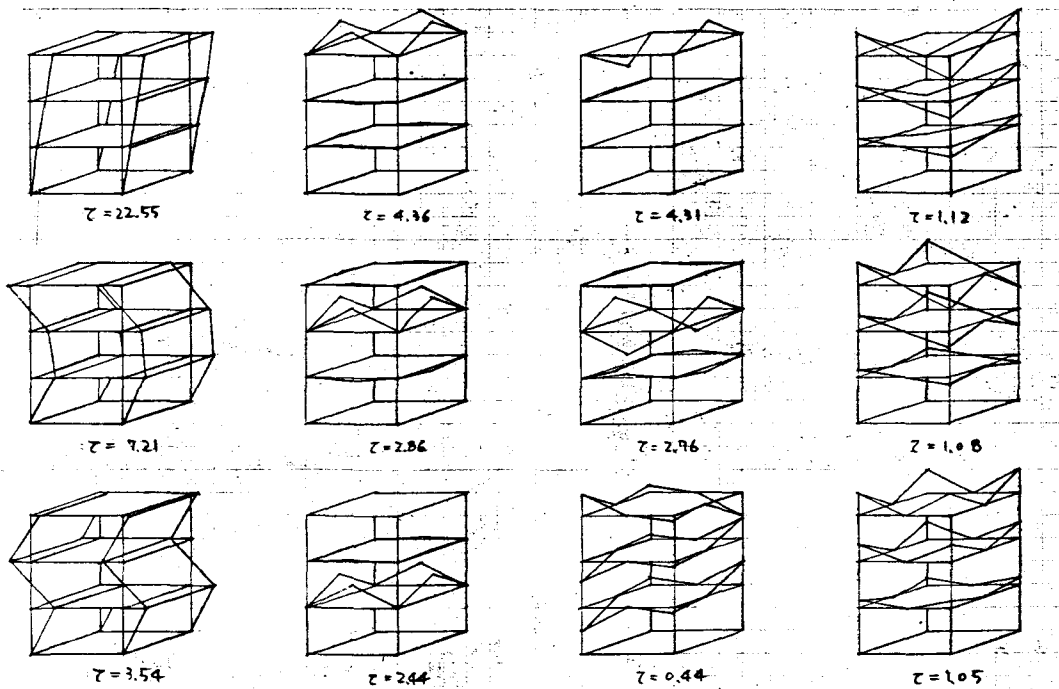
柱剛性分布 $\{k\} = \{1, 7/9, 5/9\}$

弾塑性ジョイント中立部材長の比 $\Delta L/L = 1/20$ 、梁と柱の部材成比を $12:1$ 、梁柱強度比 $\bar{b} = 0.6$ を選ぶ。部材の曲げ耐力と軸方向耐力との比 $\mu = M_f/N_f H$ は各部材とも一様に $1/\pi$ であるが、二軸圧断面形状係数中立の円形の場合に相当する。

第2図には梁中央質量と柱頭質量を等しくし、性限相応回転角の基準量 $\bar{\psi} = 10^{-3}$ とした無次元固有周期と各次の対応するモードを示す。柱材の伸縮に



第1図 解析モデル

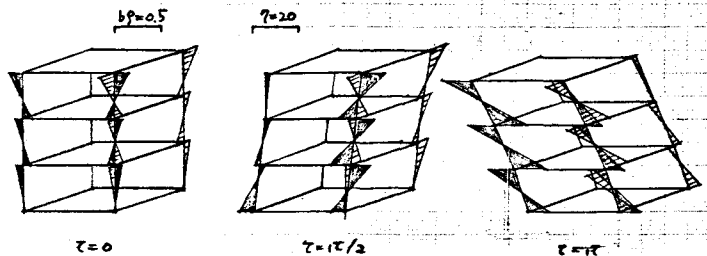


第2図 無次元固有周期および固有モード

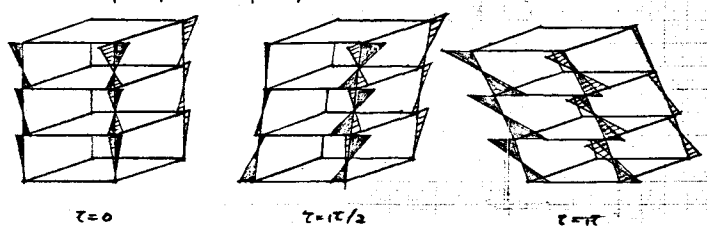
よる影響が少ないので、梁中央の柱中の卓越する場合の周期は両端固定梁の周期と両端支持梁の周期の間にに入る。第3図、第4図は強度パラメータ $\alpha = 1.6 \frac{A^2}{S} = 1.0$ 、周波数パラメータ $\psi = \pi T / T_d = 1/15$ の場合の Vernon 地震波形関数二成分を入力としたときの無次元運動変位 $\gamma = \frac{x}{L}$ と曲げモーメント分布を示した図であり、太線部分は梁が降伏していないことを意味する。若干、外乱強度が小さいためと $\beta = 0.6$ としたため、柱は弾性域にあり、第4図中央に見られる複合断面力による影響を充分予想しなければ、太密に詳細につけては立ち入る検討すら予定である。

参考文献

第18回橋梁構造工学研究発表会
小堀・南井・藤原、弾塑性建築
構造の構成要素の地震応答



第3図 各層運動変位



第4図 変形モードと柱曲げモーメント